

بِسْمِ اللّٰهِ الرَّحْمٰنِ الرَّحِيْمِ

90 Vav



دانشگاه الزهرا

دانشکده علوم پایه

پایان نامه

جهت اخذ درجه کارشناسی ارشد

رشته فیزیک

گرایش ماده چگال

بررسی اثر آلایش الکترونی و حفره ای در ابررسانای دمای بالا

سری ۱۲۳

استاد راهنما :

دکتر وحید دادمهر

استاد مشاور:

دکتر رضا ثابت داریانی

نگارش:

سمیه فلاحتی

۱۳۸۷ / ۰۱ / ۲۵

تیرماه ۱۳۸۷

۹۰۷۹۷

لعدیم به

یکانه بی همتا که دستم را گرفت و نگذاشت قلبم در پیاده روی ای شکون غدوغ و کنایه کم شود

و

بپروردخوبم که الفبای زندگی که همان پاک زیست است را به من آموختند. دستهای پر صد افسان را می بوسم و
تا میان عمر من تبدیل اطفاف بیکار اشان هستم.

قدروانی

پاس فراوان آفرینشده بی همتار که هرچه دارم مدیون او می دانم و بیاری او تحلی مسکلات و سختی های در تمام مراحل بر من آسان شد.

از استاد بزرگوارم، جناب آقای دکتر دادمهر به پاس زحمات فراوان و راهنمایی های ارزشمند در انجام این پژوهش شکر و قدردانی می نمایم.

از اساتید گرامی، آقای دکتر حسین چراغی، آقای دکتر عبدالله مرتضی علی و آقای دکتر رضا ثابت داریانی پاک
مطالعه این پایان نامه، شرکت در جلسه دفاعیه و ارائه نظرات ارزشمند پاکدارم.

از سرکار خانم دکتر دادس که در تمام مراحل این پژوهه همیاری و همکاری خوبی را ز من دینه نداشتند نهایت پاس
و شکر را دارم.

از دوستان خوب و عزیزم خانم فاطمه صائب و خانم سارابکت رضائی که در تمام مراحل این پژوهه از همکاری صمیمانه و
آنها بهره مند شدم شکر و قدردانی می کنم.

در پایان جا دارد از زحمات ارزشمند پر و مادر عزیز و بزرگوارم که همواره مشوق من بودند و بدون محبت، فذکاری و
حیات های هم جانبه آنها انجام این کار بر من میسر نبود، همچنین از برادر محربانم، به خاطر گاه های ارزشمند اش نهایت پاس
و شکر را دارم.

چکیده

از کشف ترکیب ابررسانای دمای بالای YBCO ، اثر جانشینی شیمیایی در این ساختار به منظور بهبود مشخصه های ابررسانایی از قبیل T_C ، J_C ، ساختار بلوری و پارامترهای سلول واحد بسیار مورد توجه بوده است. در این تحقیق اثر آلایش حفره ای با جانشینی Ag/Cu و آلایش الکترونی با جانشینی Al/Cu بر روی خواص ابررسانایی و ساختاری نمونه های بس بلوری ابررسانای $\text{YBa}_2\text{Cu}_{3-x}\text{Ag}_x\text{O}_{7-\delta}$ با مقادیر آلایش $x=0, 0.1, 0.15, 0.2, 0.3$ و نمونه های ابررسانای $\text{YBa}_2\text{Cu}_{3-x}\text{Al}_x\text{O}_{7-\delta}$ با مقادیر آلایش $x=0, 0.01, 0.02, 0.03, 0.045$ ساخته شده به روش سل-ژل را مورد مطالعه قرار دادیم. نتایج ظرفی سازی طیف XRD نمونه ها با نرم افزار MAUD نشان می دهد که به دلیل عدم تغییر در اشغال محل $\text{Cu}(2)$ ، کاهش کسر اشغال محل $\text{Cu}(1)$ و افزایش اشغال Ag در جایگاه $\text{Cu}(1)$ در ترکیب $\text{YBa}_2\text{Cu}_{3-x}\text{Ag}_x\text{O}_{7-\delta}$ و همچنین افزایش کسر اشغال Al در جایگاه $\text{Cu}(1)$ در ترکیب $\text{YBa}_2\text{Cu}_{3-x}\text{Al}_x\text{O}_{7-\delta}$ مطابق با افزایش مقدار آلاینده، هر دو جانشینی Ag و Al در جایگاه $\text{Cu}(1)$ انجام شده است. دمای گذار ابررسانش نمونه آلاییده با Ag تا $x=0.15$ افزایش یافته و برای مقادیر بالاتر کاهش می یابد. بنابراین $x=0.15$ را به عنوان بهینه مقدار آلایش نقره معرفی می کنیم. برای مقادیر کم آلایش Al در $x=0.01, 0.02$ کاهش جزیی در دمای گذار ابررسانش مشاهده می شود اما با افزایش مقدار آلایش با افت سریع در دمای گذار ($T_C(\text{zero})$) مواجه می شویم. هر دو این آلایندها در مکان $\text{Cu}(1)$ جانشین شده اند اما تأثیر آنها کاملاً متفاوت است.

نتایج تحقیقات اینجانب در طول این دوره طی پنج مقاله در کنفرانس های ملی و سه مقاله در کنفرانس های بین المللی ارائه شده است.

کلمات کلیدی : ساختار 123-Y، جانشینی های شیمیایی، ظرفی سازی ساختاری، خواص ترابردی، چگالی جریان بحرانی، اتصالات ضعیف

فهرست مطالب

عنوان	صفحه
چکیده	أ
فهرست مطالب	ب
فهرست شکل‌ها	ج
فهرست جداول	ر
پیش‌گفتار	ز

فصل اول : مفاهیم مقدماتی پدیده ابررسانایی

1-1 ابررسانایی متعارف	2
1-1-1 مقدمه	2
اثر مايسنر	2
BCS نظریه	3
2-1-1 مفاهیم بنیادی ابررسانایی	4
میدان مغناطیسی بحرانی	4
عمق نفوذ	5
خواص مغناطیسی ابررساناهای متعارف	5
2-1 ابررساناهای دمای بالا	7
3-1 ناهمسانگردی و طول‌های مرتبط	9
4-1 سازوکار شاری و ساختار گردابی	10
نمودار (H-T) ابررساناهای نوع II	10
1-4-1 گردابه‌ها	11
2-4-1 میخکوبی شار (flux pinning)	14
5-1 مقایسه ابررساناهای دمای بالا و متعارف	16

17	1-5-1 روشهای مؤثر در افزایش دمای گذار
18	2-5-1 خواص حالت هنجار ابررساناهای دمای بالا
18	6-1 ساختار YBCO
21	نقش صفحات CuO_2 در ابررسانش
22	اعوجاج صفحات CuO_2
23	نقش فشارهای موضعی
24	الکترونهای ظرفیت و توازن بار
24	7-1 دیاگرام فاز ابررساناهای دمای بالا
30	8-1 ارتباطات دانهای در ابررساناهای دمای بالا
30	1-8-1 اتصال دانهای
32	2-8-1 غیر هم محوری دانهای (Grain misalignment)
33	3-8-1 خزش شار و خط برگشت‌ناپذیر

فصل دوم : ساخت و مطالعه اثر آلایش الکترونی و حفرهای در ساختار Y-123

36	1-2 مروری بر اثر آلایش در ساختار 123
36	1-1-2 مقدمه
37	2-1-2 اثر آلایش (doping effect)
39	2-2-2 مدل‌های توصیف کننده اثر آلایش
39	1-2-2 پژش‌دگی حفره
40	جانشینی La^{3+} در مکان Ba^{2+} در ساختار ErBCO
42	مقایسه جانشینی La^{3+} و Ca^{2+} در مکان Nd در ساختار NdBCO
44	2-2-2 جایگزیدگی حفره (hole localization)
45	جانشینی یون Sn^{4+} در مکان Cu^{2+} در ساختار $\text{YBaSrCu}_3\text{O}_y$
46	3-2-2 جزیره‌های حفرهای
48	4-2-2 هیبریداسیون و مدل FR
53	123 در ساختار اثر آلایش Pr

55	5-2-2 بهبود خواص ابرسانش در اثر آلایش حفره‌ای
59	3-2 ساخت ابرسانای دمای بالا
59	1-3-2 مقدمه
60	2-3-2 روش سل-ژل (sol-gel)
62	روش‌های خشک کردن ژل
64	4-2 ساخت نمونه‌های بس‌بلوری ابرسانای $\text{YBa}_2\text{Cu}_{3-x}\text{M}_x\text{O}_{7-\delta}$ ($\text{M}=\text{Ag, Al}$) به روش سل-ژل
65	1-4-2 استوکیومتری و توزین
68	2-4-2 تنظیم pH محلول
69	بررسی اثر pH در ساخت نمونه ابرسانای YBCO
73	3-4-2 مرحله firing
76	4-4-2 تکلیس (Calcination)
77	5-4-2 قرص‌سازی (Pressing)
78	6-4-2 کلوخه‌سازی (sintering)
80	5-2 روش‌های اندازه‌گیری اکسیژن نمونه
80	یدومتری
82	روش تحلیل جرم‌سنگی TGA
82	روش تعیین اکسیژن با استفاده از پارامتر شبکه C

فصل سوم : مشخصه‌یابی، بحث و نتیجه‌گیری

84	1-3 آزمایش پراش اشعه X (XRD)
84	1-1-3 پراش پودری
85	2-1-3 شناسایی ساختار بلوری
	3-1-3 طیف XRD نمونه‌های $\text{YBa}_2\text{Cu}_{3-x}\text{M}_x\text{O}_{7-\delta}$ ($\text{M}=\text{Ag, Al}$) و
86	ظریف‌سازی با نرم‌افزار MAUD
92	2-3 آزمایش‌های میکروسکوپ الکترونی SEM

92	1-2-3 ریزساختار
94	2-2-3 ریزساختار ترکیبات ابرسانای 123
102	3-2-3 میکروسکوپ الکترونی
104	4-2-3 تصاویر SEM نمونه‌های $YBa_2Cu_{3-x}M_xO_{7-\delta}$ ($M=Ag, Al$)
119	3-3 آزمایش‌های اندازه‌گیری مقاومت بر حسب دما (R-T)
120	1-3-3 آماده‌سازی نمونه‌ها برای اندازه‌گیری‌های الکتریکی
121	2-3-3 نمودار R-T نمونه‌های $YBa_2Cu_{3-x}M_xO_{7-\delta}$ ($M=Ag, Al$)
126	4-3 اندازه‌گیری‌های تراپردی I-V
133	5-3 یدومتری
136	6-3 نتیجه گیری و پیشنهاد ادامه کار
136	جمع‌بندی و نتایج
138	پیشنهاداتی برای ادامه کار
139	مراجع
144	Abstract

فهرست شکل‌ها

صفحه	عنوان
	شکل (1-1) طرد میدان مغناطیسی خارجی از داخل یک ماده ابررسانا (اثر مایسنسن)
2	شکل (2-1) برهمکنش الکترون-الکترون از طریق ارتعاشات شبکه و تشکیل جفت کوپر
3	شکل (3-1) وابستگی میدان مغناطیسی بحرانی به دما
5	شکل (4-1) تغییرات مغناطش بر حسب میدان مغناطیسی اعمال شده برای a) ابررساناهای متعارف نوع I b) ابررساناهای ابرالکترون
6	شکل (5-1) مهمترین ساختارهای ابررسانای کشف شده
8	شکل (6-1) طول همدوسي γ و عمق نفوذ λ در ابررساناهای نوع II با تغییر چگالی ابرالکترون‌ها
9	و میدان مغناطیسی مشخص می‌شوند.
11	شکل (7-1) نمودار (H-T) برای ابررسانای نوع II
12	شکل (8-1) جریانهای پوششی در اطراف یک مغزی گردابه
12	شکل (9-1) میدان مغناطیسی در اطراف یک مغزی گردابه به شعاع γ
13	شکل (10-1) حالت آمیخته در ابررساناهای نوع II، مغزی‌های گردشارها در فاز نرمال هستند.
14	شکل (11-1) نمایش شماتیک حالت (vortex glass)
15	شکل (12-1) نمودار فاز H-T برای a) ابررساناهای دمای بالا و b) ابررساناهای متعارف
20	شکل (13-1) ساختار $YBa_2Cu_3O_{7-\delta}$
21	شکل (14-1) کوپل شدگی ابررسانایی بین اجزاء ساختاری مختلف ابررسانای دمای بالا
25	شکل (15-1) نمودار فاز دما-آلایش ابررساناهای $Nd_{2-x}Ce_xCuO_4$ و $La_{2-x}Sr_xCuO_4$
27	شکل (16-1) نمودار فاز (T- ρ) برای آلایش حفره‌ای در HTSCs، فازها: آنتی فرومغناطیسی (AFM)، شبکه گاف (PG)، مایع فرمی حاشیه‌ای (MFL)، ابررسانا (SC)، مایع فرمی (FL)
30	شکل (17-1) نمودار فاز (T- δ) در ساختار $YBa_2Cu_3O_{7-\delta}$
38	شکل (1-2) اثر آلایش الکترونی و حفره‌ای در ترکیب $YBa_2Cu_3O_{7-\delta}$

- 40 شکل (2-2) تغییرات مقاومت بر حسب دما برای نمونه های $[34] ErBa_{2-y}La_yCu_3O_{7-\delta}$
- 41 شکل (3-2) تغییرات مقاومت بر حسب دما برای (a) نمونه های $Er_{1-x}Ca_xBa_{1.8}La_{0.2}Cu_3O_z$ (سمت راست) و (b) نمونه های $Er_{1-x}Ca_xBa_{1.6}La_{0.4}Cu_3O_z$ (سمت چپ).
- 43 شکل (4-2) تغییرات دمای گذار بر حسب مقدار آلایش برای نمونه های $Nd_{1-x}Ca_xBa_2Cu_3O_y$ و $Nd_{1-x}Ca_xBa_2Cu_3O_y$.
- 44 شکل (5-2) چگالی حفره بر حسب مقدار آلایش برای ساختارهای $Nd_{1-x}Ca_xBa_2Cu_3O_y$ و $La_xBa_2Cu_3O_y$.
- 45 شکل (6-2) دمای گذار و همچنین مقدار اکسیژن نمونه بر حسب مقدار آلایش Sn.
- 48 شکل (7-2) نقطه های سیاهرنگ PrBCO و دایره های توخالی YBCO را نمایش می دهدند. سلولهای رنگ شده نقاطی را نشان می دهند که حفره ها در آنها جایگزیده می شوند.
- 50 شکل (8-2) همپوشانی اوربیتالهای Pr^{4f} با O^{2P}. [42]
- 54 شکل (9-2) وابستگی چگالی الکترون ها به مقدار آلایش Pr.
- 55 شکل (10-2) وابستگی خطی T_c و چگالی حفره های صفحات CuO₂ برای مقادیر مختلف آلایش Pr نسبت به $Pr_{1-x}Ca_xBa_2Cu_3O_{7-\delta}$ در $2x+\delta$. [31]
- 57 شکل (11-2) نمودار R-T برای نمونه های $Pr_{1-x}Ca_xBa_2Cu_3O_{7-\delta}$ ($x=0.3, 0.4, 0.5, 0.6$).
- 58 شکل (12-2) نمودار مقاومت بر حسب دما برای ساختارهای $Pr_{0.5}Ca_{0.5}Ba_2Cu_3O_{7-\delta}$ و $Pr_{0.5}Sr_{0.5}Ba_2Cu_3O_{7-\delta}$ و $Pr_{0.5}Y_{0.5}Ba_2Cu_3O_{7-\delta}$.
- 70 شکل (13-2) مقایسه XRD نمونه های $YBa_2Cu_3O_{7-\delta}$ ساخته شده به روش سل ژل با pH های مختلف.
- 71 شکل (14-2) نمودار R-T برای نمونه های $YBa_2Cu_3O_{7-\delta}$ a) pH=4.56, b) pH=5.19, c) pH=5.63, d) pH=6.2, e) pH=6.8, f) pH=7.05, g) pH=7.49
- 74 شکل (15-2) تصاویر SEM برای نمونه های $YBa_2Cu_3O_{7-\delta}$ a) pH=4.56, b) pH=5.19, c) pH=5.63, d) pH=6.2, e) pH=6.8, f) pH=7.05, g) pH=7.49
- 75 شکل (16-2) نمودارهای DTA و TGA برای پیش مواد YBCO.
- 77 شکل (17-2) طیف IR پیش مواد Y-Ba-Cu-O و محصولات کلسینه شده [49].
- Shakl (18-2) XRD پودرهای YBCO که در دماهای 850, 900, 920 کلسینه شده اند [51].

- 78 شکل (19-2) کوره استوانه‌ای دیجیتال مورد استفاده برای کلوخه‌سازی
- 79 شکل (20-2) نمودار کلوخه‌سازی نمونه‌های ساخته شده به روش سل-ژل
- شکل (1-3) الگوی پراش اشعه X نمونه‌های $YBa_2Cu_{3-x}Ag_xO_{7-\delta}$ با مقادیر آلایش $x=0, 0.1$, 0.2
- 87 شکل (2-3) الگوی پراش اشعه X نمونه‌های $YBa_2Cu_{3-x}Al_xO_{7-\delta}$ با مقادیر آلایش $x=0, 0.01$, $0.15, 0.2, 0.3$
- 90 شکل (3-3) طرح واره فرایند دوقلو شدن، در نتیجه منظم شدن محل اشغال اتم‌های اکسیژن در طول محور b، کرنش ایجاد می‌شود که در طول گذار تراگونال به اورتورومبیک، دوقلویی را به وجود می‌آورد [56].
- 97 شکل (4-3) (الف) طرح واره ساختار کامل بلوری 123 و (ب) طرح یک دوقلویی [56]
- 98 شکل (5-3) چگالی جریان بحرانی مغناطش بر حسب میدان در ترکیبات $YBa_2Cu_3O_x$ با مقادیر مختلف اکسیژن، x و فضای دوقلویی، d [56]
- 99 شکل (6-3) طرح واره یک دانه به طور داخلی دوقلویی شده $YBa_2Cu_3O_x$ نوارهای بریده شده که روی سطح دانه ایجاد می‌شوند، یک میدان کرنش ایجاد می‌کنند که موجب کاهش مقادیر T_C و H_{C2} در نواحی مرزی می‌شود [56].
- 100 شکل (7-3) چگالی جریان تراپردی بر حسب میدان برای هر دو نمونه کلوخه‌ای و ذوب منطقه‌ای [56].
- 101 شکل (8-3) میکروسکوپ الکترونی مورد استفاده در تحقیق حاضر
- 104 شکل (9-3) SEM نمونه $YBa_2Cu_3O_{7-\delta}$ با بزرگنمایی‌های a)1000, b)2000, c)5000, d)10000
- 105 شکل (10-3) SEM نمونه $YBa_2Cu_{2.9}Ag_{0.1}O_{7-\delta}$ با بزرگنمایی‌های a)1000, b)2000, c)5000, d)10000
- 107 شکل (11-3) SEM نمونه $YBa_2Cu_{2.85}Ag_{0.15}O_{7-\delta}$ با بزرگنمایی‌های a)1000, b)2000, c)5000, d)10000
- 109 شکل (12-3) SEM نمونه $YBa_2Cu_{2.8}Ag_{0.2}O_{7-\delta}$ با بزرگنمایی‌های a)1000, b)2000, c)5000, d)10000
- 111 شکل (13-3) SEM نمونه $YBa_2Cu_{2.7}Ag_{0.3}O_{7-\delta}$ با بزرگنمایی‌های a)1000, b)2000, c)5000, d)5000

- 113 c)5000, d)10000
- 115 شکل (14-3) SEM نمونه $\text{YBa}_2\text{Cu}_{2.99}\text{Al}_{0.01}\text{O}_{7-\delta}$ با بزرگنمایی های a)1000, b)5000
- 116 شکل (15-3) SEM نمونه $\text{YBa}_2\text{Cu}_{2.98}\text{Al}_{0.02}\text{O}_{7-\delta}$ با بزرگنمایی های a)1000, b)5000
- 117 شکل (16-3) SEM نمونه $\text{YBa}_2\text{Cu}_{2.97}\text{Al}_{0.03}\text{O}_{7-\delta}$ با بزرگنمایی های a)1000, b)5000
- 118 شکل (17-3) SEM نمونه $\text{YBa}_2\text{Cu}_{2.955}\text{Al}_{0.045}\text{O}_{7-\delta}$ با بزرگنمایی های a)1000, b)5000
- 121 شکل (18-3) نحوه اتصال نمونه به نگهدارنده در روش چهار میله
- شکل (19-3) مقاومت الکتریکی نمونه های $\text{YBa}_2\text{Cu}_{3-x}\text{Ag}_x\text{O}_{7-\delta}$ برای مقادیر آلایش $x=0, 0.1, 0.15, 0.2, 0.3$
- 122 شکل (20-3) دماهای بحرانی ($T_c(\text{mid})$, $T_c(\text{zero})$, $T_c(\text{onset})$) بر حسب مقدار آلایش Ag
- 123 شکل (21-3) مقاومت الکتریکی نمونه های $\text{YBa}_2\text{Cu}_{3-x}\text{Al}_x\text{O}_{7-\delta}$ برای مقادیر آلایش $x=0-0.045$
- 124 شکل داخلی جزئیات گذار را نشان می دهد.
- شکل (22-3) دمای بحرانی ($T_c(\text{zero})$) بر حسب مقدار آلایش Al
- شکل (23-3) نمودارهای (E-J) نمونه های $\text{YBa}_2\text{Cu}_{3-x}\text{Ag}_x\text{O}_{7-\delta}$ با مقادیر آلایش $x=0, 0.1, 0.15, 0.2, 0.3$ در میدان مغناطیسی $T=77 \text{ }^\circ\text{K}$ و دمای $0.9T$
- شکل (24-3) نمودارهای (E-J) نمونه های $\text{YBa}_2\text{Cu}_{3-x}\text{Al}_x\text{O}_{7-\delta}$ با مقادیر آلایش $x=0, 0.01, 0.02, 0.03, 0.045$ در میدان مغناطیسی $T=77 \text{ }^\circ\text{K}$ و دمای $0.9T$

فهرست جداول

صفحه	عنوان
65	جدول (1-2) مقادیر استوکیومتری نمونه‌های $\text{YBa}_2\text{Cu}_{3-x}\text{Ag}_x\text{O}_{7-\delta}$
66	جدول (2-2) مقادیر استوکیومتری نمونه‌های $\text{YBa}_2\text{Cu}_{3-x}\text{Al}_x\text{O}_{7-\delta}$
88	جدول (1-3) ثابت‌های شبکه و مکان‌های اتمی در نمونه‌های $\text{YBa}_2\text{Cu}_{3-x}\text{Ag}_x\text{O}_{7-\delta}$ با مقادیر $x=0, 0.1, 0.15, 0.2, 0.3$ آلیش
91	جدول (2-3) ثابت‌های شبکه و مکان‌های اتمی در نمونه‌های $\text{YBa}_2\text{Cu}_{3-x}\text{Al}_x\text{O}_{7-\delta}$ با مقادیر $x=0, 0.01, 0.02, 0.03, 0.045$ آلیش
123	جدول (3-3) دمای گذار نمونه‌ها با توجه مقدار آلیش Ag در $\text{YBa}_2\text{Cu}_{3-x}\text{Ag}_x\text{O}_{7-\delta}$
125	جدول (4-3) دمای گذار نمونه‌ها با توجه مقدار آلیش Al در $\text{YBa}_2\text{Cu}_{3-x}\text{Al}_x\text{O}_{7-\delta}$
131	جدول (5-3) نسبت $J_C(\text{Ag-doped})/J_C(\text{Pure})$ در نمونه‌های $\text{YBa}_2\text{Cu}_{3-x}\text{Ag}_x\text{O}_{7-\delta}$ ($x=0-0.3$) در $T=77^\circ\text{K}$ و $B=0.9\text{T}$
133	جدول (6-3) نسبت $J_C(\text{Al-doped})/J_C(\text{Pure})$ در نمونه‌های $\text{YBa}_2\text{Cu}_{3-x}\text{Al}_x\text{O}_{7-\delta}$ ($x=0-0.045$) در $T=77^\circ\text{K}$ و $B=0.9\text{T}$
135	جدول (7-3) مقدار اکسیژن در نمونه‌های $\text{YBa}_2\text{Cu}_{3-x}\text{Ag}_x\text{O}_{7-\delta}$
135	جدول (8-3) مقدار اکسیژن در نمونه‌های $\text{YBa}_2\text{Cu}_{3-x}\text{Al}_x\text{O}_{7-\delta}$

پیش‌گفتار

از کشف ترکیبات ابررسانای دمای بالا جانشینی‌های شیمیایی در این ترکیبات توجه زیادی را به خود معطوف کرده، زیرا یک ابزار کارآمد برای بهبود مشخصه‌های فیزیکی ترکیبات ابررسانای دمای بالا می‌باشد. با وجود اینکه جانشینی‌های شیمیایی همواره افزایش دمای گذار ابررسانش(T_C) را به همراه نخواهند داشت، به نظر می‌رسد که بعضی از جانشینی‌ها اثر مثبتی روی دیگر خواص مهم از قبیل ناهمسانگردی، میدان برگشت‌ناپذیر(H_{irr}) و چگالی جریان بحرانی(J_C) خواهند داشت. آلایش در ترکیب YBCO به دو دلیل صورت می‌گیرد: اولی تبیین خواص ابررسانایی ترکیب و دومی بهبود مشخصه‌های فیزیکی و بافت دانه‌ای است. به طور معمول در اولی جانشینی شیمیایی و در مورد دوم اضافه کردن فلز ناخالصی به سرامیک YBCO مورد استفاده قرار می‌گیرد.

می‌دانیم که ابرجریان در ساختار YBCO توسط حفره‌های صفحات CuO_2 انتقال می‌یابد، بنابراین می‌توان گفت که چگالی حفره‌های این صفحات نقش تعیین‌کننده‌ای در خواص تراپردازی و ابررسانایی سیستم دارند. مهمترین نقش یک اتم جانشین شده در اثر آلایش الکترونی و حفره‌ای، تغییر چگالی حفره‌های صفحات CuO_2 است. بعضی از جانشینی‌ها حفره‌های ابررسانش را از صفحات به جاهای دیگر (مثلًاً زنجیره‌ها) انتقال داده و به این طریق موجب تغییر در دمای گذار ابررسانش می‌شوند. جانشینی اتم‌های با ظرفیت کمتر به جای اتم‌های با ظرفیت بیشتر، مثل Ca^{2+}/Y^{3+} اغلب موجب افزایش در چگالی حفره‌ها و بهبود دمای گذار ابررسانش می‌شوند که ما از این جانشینی‌ها به عنوان آلایش حفره‌ای یاد می‌کنیم. همچنین جانشینی اتم‌های با ظرفیت بیشتر به جای اتم‌های با ظرفیت کمتر، مثل La^{3+}/Ba^{2+} موجب

کاهش در چگالی حفره‌های ابررسانش می‌شود که ما این جانشینی را به عنوان آلایش الکترونی می‌شناسیم.

از آنجا که اتم مس چند ظرفیتی است و با توجه به اینکه دو جایگاه اتمی مختلف Cu در ترکیب YBCO وجود دارد، اتم مس در زنجیره‌ها ($Cu(1)$) و اتم مس در صفحات ($Cu(2)$)، جانشینی در جایگاه Cu بسته به اینکه اتم آلاینده کدام جایگاه را اشغال می‌کند، منجر به خواص جالب و متفاوتی می‌شود.

در این تحقیق به منظور بررسی اثرات آلایش الکترونی و حفره‌ای، با ساخت نمونه‌های $YBa_2Cu_{3-x}Ag_xO_{7-\delta}$ و $YBa_2Cu_{3-x}Al_xO_{7-\delta}$ به روش سل ژل، جانشینی Ag/Cu و Al/Cu را در این ترکیبات مورد مطالعه قرار دادیم. انتخاب نقره به این دلیل است که مشاهده شده اضافه کردن نقره به ترکیب YBCO موجب تقویت اتصالات ضعیف بین دانه‌ای و بهود چگالی جریان بحرانی می‌شود. سعی ما بر این بود که تأثیر جانشینی نقره در مکان Cu را بر خواص ساختاری و ابررسانایی سیستم مورد مطالعه قرار دهیم. همچنین برای مشخص کردن نقش Cu در ابررسانش این ترکیب، آلایش الکترونی توسط جانشینی اتم آلمینیوم در مکان Cu مورد مطالعه قرار گرفت.

فصل اول

مفاهیم مقدماتی پدیده ابررسانایی

مقدمه

ابررسانایی متعارف و دمای بالا
مفاهیم بنیادی ابررسانایی
سازوکار شاری و ساختار گردابی
روشهای مؤثر در افزایش دمای گذار
ساختار YBCO و نقش صفحات CuO_2 در ابررسانش
دیاگرام فاز ابررساناهای دمای بالا
ارتباطات دانه‌ای در ابررساناهای دمای بالا

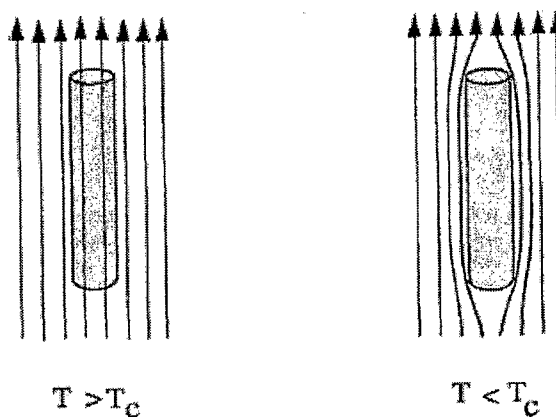
1-1-1 ابررساناهای متعارف

1-1-1-1 مقدمه

پس از آنکه اونس در سال 1908 موفق به مایع کردن هلیوم شد، امکان دسترسی پژوهشگران به دماهای بسیار پایین فراهم شد. پدیده ابررسانایی در سال 1911 توسط کامرلینگ اونس در آزمایشگاه لیدن کشف شد. وقتی او مشغول بررسی وابستگی دمایی مقاومت ویژه الکتریکی جیوه بود، مشاهده کرد که در دمای 4.2°K مقاومت نمونه ناگهانی به صفر میل کرد [1]. نکته حائز اهمیت در این بود که افت مقاومت با کاهش دما به طور ناگهانی بود نه تدریجی، او این پدیده را ابررسانایی نامید.

اثر مايسنر

در سال 1933، مايسنر (Meissner) و اوکسنفلد (Ochsenfeld) دریافتند که ابررسانا چیزی متفاوت از رسانای کامل است و در دماهای پایین‌تر از دمای بحرانی ($T_c < T$) میدان درون ابررسانا در حضور میدان مغناطیسی خارجی که کوچکتر از میدان مغناطیسی بحرانی ($H_c < H$) باشد، همواره صفر است یعنی طرد کامل شار مغناطیسی وجود دارد [2]. این خاصیت مغناطیس‌زدایی ابررساناهای به اثر مايسنر معروف است و این یعنی ابررسانا، دیامغناطیس کامل است (شکل 1-1).

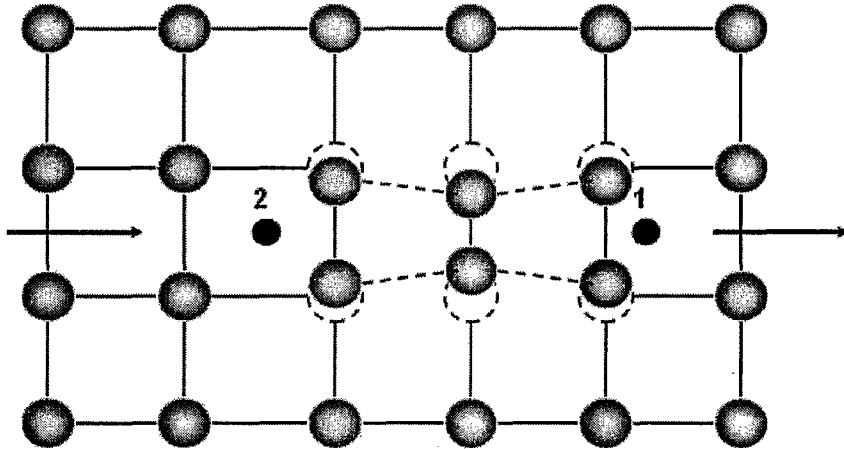


شکل 1-1: طرد میدان مغناطیسی خارجی از داخل یک ماده ابررسانا (اثر مايسنر).

به دنبال کشف پدیده ابررسانایی در ترکیب Hg ، مطالعه بر روی بسیاری از عناصر جدول تناوبی به امید امکان مشاهده پدیده ابررسانایی در آنها انجام شد و مشاهده شد که ابررسانایی در بسیاری از عناصر فلزی جدول تناوبی، آلیاژها و ترکیبات بین فلزی و نیمه‌رسانها نیز واقع می‌شود. بیشترین دمای گذار مشاهده شده در این ابررسانها حدود $23^{\circ}K$ بود و به این ابررسانها ابررساناهای متعارف می‌گویند.

نظریه BCS

در سال 1957 سه محقق به نامهای باردین (Bardeen)، کوپر (Cooper) و شریفر (Schrieffer) را ارائه دادند که برهمکنش ضعیف بین الکترون‌ها و فونون‌ها را نظریه‌ای موسوم به نظریه BCS را توجیه کردند [3]. شکل 1-2 چگونگی برهمکنش الکtron-الکtron از طریق ارتعاشات شبکه و تشکیل جفت کوپر را نشان می‌دهد.



شکل 1-2: برهمکنش الکtron-الکtron از طریق ارتعاشات شبکه و تشکیل جفت کوپر

در سال 1962 جوزفسون با بررسی نظری ابررسانایی دریافت که اگر دو ابررسانای مختلف را با یک اتصال تونلزنی به یکدیگر متصل کنیم، حتی بدون اعمال میدان الکتریکی خارجی، یک شارش جریان خواهیم داشت. این اثر به اثر جوزفسون معروف است [4].

1-2-2 مفاهیم بنیادی ابررسانایی

میدان مغناطیسی بحرانی

همانطور که در مقدمه اشاره شد طبق آزمایش‌های مایسنر- اوکسنفلد، اگر ماده ابررسانا را در میدان مغناطیسی خارجی قرار داده و تا زیر دمای گذار سرد کنیم، خطوط شار مغناطیسی را از خود طرد می‌کند که به اثر مایسنر معروف است. حال اگر ماده ابررسانا در یک میدان مغناطیسی به اندازه کافی بزرگ قرار بگیرد و تا زیر دمای گذار سرد شود، مشاهده می‌کنیم که ابررسانایی از بین رفته و ماده مورد نظر اجازه نفوذ شار مغناطیسی را به داخل خود داده و گذاری به حالت غیرابررسانایی رخ می‌دهد. آستانه میدان مغناطیسی که ابررسانایی را از بین می‌برد به میدان مغناطیسی بحرانی (H_c) معروف است که به نوع ماده و دما بستگی دارد. وابستگی دمایی (T) به H_c با رابطه تجربی زیر توصیف می‌شود:

$$H_c(T) = H_c(0) \left[1 - \left(\frac{T}{T_c} \right)^2 \right] \quad (1-1)$$

همانطور که در شکل 3-1 می‌بینیم H_c با افزایش دما کاهش می‌یابد.